

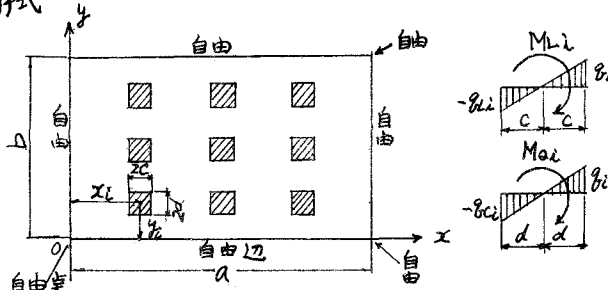
## 周辺完全自由な矩形床版をもつ無梁版の立体解析

大阪工業大学 正員 岡村宏一  
大阪設計コンサルタントKK 正員 ○吉田公憲

I) まえがき：周辺が完全自由な矩形床版が柱と剛結して型式の無梁版は有限領域の無梁版構造のうち最も一般的な形態のものであるが荷重あるいは柱頭部等の条件によつて2次元的解析では充分の評価を与えることが出来ない。われわれはこの構造に対する立体的解析法を提示し、本文では対称系曲げの場合の計算例を示して報告する。

II) 解法の概要：矩形床版には柱頭部に分布する支持力からびに2方向の拘束モーメントを作用させ、偶数を含めた周辺の反力をからび解式を求める。次に周辺に存在するモーメントの卓越部分を打ち消す演算を加え、更に残留するモーメントを除去するために境界要素法を利用する解式を重ねる。以上の解式を用いて柱頭に施ける支持条件式からびに2方向の節点方程式を作成する。非対称変形の場合はこれに3系統の層方程式が累加される。

## III) 解式



柱頭部反力は局部的応力集中を無視して次の様に仮定する。

- 2方向拘束モーメント:  $M_{Li}$   
柱巾2C区间に等分布
- 2方向拘束モーメント:  $M_{Ri}$   
柱巾2C区间に等分布
- 柱頭支持力:  $P_i$   
柱頭底面に等分布

上記の様にして求めた床版のたわみは次式のようになる。

$$\begin{aligned} W = & W_0 + \frac{\pi B^4}{D \pi^2} \left[ \sum_{m=1}^{\infty} \sum_{n=1}^{\infty} \frac{1}{m^2 n^2} \left\{ A_m P_a - \sum_l b_{ml} P_l + \sum_l c_{ml} M_{Li} \right\} \left\{ \cos m\pi \xi - \frac{m\pi}{2} \xi (1-\xi) \right\} + \sum_{m=1}^{\infty} \frac{1}{m^2 n^2} \left\{ A_m P_a - \sum_l b_{ml} P_l + \sum_l c_{ml} M_{Ri} \right\} \right. \\ & \times \left. \left\{ \cos m\pi \eta - \frac{m\pi}{2} \eta (1-\eta)^2 \right\} + \frac{2\pi}{\lambda} \sum_{m=1}^{\infty} \sum_{n=1}^{\infty} \frac{1}{m^2 n^2} \left\{ d_m P_a - \sum_l e_{mn} P_l + \sum_l f_{mn} M_{Li} + \sum_l g_{mn} M_{Ri} \right\} \cos m\pi \xi \cos n\pi \eta \right] \\ & + \sum_{m=2,4,6}^{\infty} \left\{ \left( \varphi_{Am} + \frac{m\pi}{\lambda} \right) \cosh \frac{m\pi}{\lambda} \xi + \left( \varphi_{Cm} + \varphi_B \frac{m\pi}{\lambda} \right) A_m \cos m\pi \xi \right\} + \sum_{n=2,4,6}^{\infty} \left\{ \left( \varphi'_{Am} + \lambda m \xi \right) \cosh \lambda m \xi + \left( \varphi'_{Cm} + \right. \right. \\ & \left. \left. \varphi'_B \lambda m \xi \right) \sinh \lambda m \xi \right\} A'_m \cos n\pi \eta \end{aligned}$$

$$\lambda = \frac{a}{b}, \alpha = \frac{c}{a}, \beta = \frac{d}{b} \quad P_a: \text{作用荷重強度}, A_m, a_m, d_m, \varphi \text{はされた作用荷重に由来する}$$

各方向の屈曲係数  $b_m = \beta \cos m\pi \xi, \sin m\pi \alpha, b_m = d \cos m\pi \eta, \sin m\pi \beta$ ,

$$c_m = \frac{3}{4(\lambda a)^{2/3}} (\cos m\pi \alpha - \frac{1}{m\pi} \sin m\pi \alpha) \sin m\pi \xi, c_n = \frac{3}{4\lambda B^{2/3}} (\cos n\pi \beta - \frac{1}{n\pi} \sin n\pi \beta) \sin n\pi \eta,$$

$$e_{mn} = \cos m\pi \xi \sin m\pi \alpha \cos n\pi \eta, \sin m\pi \xi \sin n\pi \eta,$$

$$f_{mn} = \frac{3}{4P(\lambda a)^{2/3}} (\cos m\pi \alpha - \frac{1}{m\pi} \sin m\pi \alpha) \sin n\pi \beta \sin m\pi \xi, \cos n\pi \eta,$$

$$g_{mn} = \frac{3}{4\lambda B^{2/3}} (\cos n\pi \beta - \frac{1}{n\pi} \sin n\pi \beta) \sin m\pi \alpha \sin n\pi \eta, \cos m\pi \xi,$$

IV) 岡村：異形平板の境界値問題に対する邊界法の応用について 大工大紀要 Vol.8, No.2. (1962)

$$\varphi_{Am} = \frac{\cosh \frac{m\pi}{\lambda} + 1}{\sinh \frac{m\pi}{\lambda}} \left( \frac{m\pi}{\lambda \sinh \frac{m\pi}{\lambda}} - 1 \right) \quad \varphi_{Bm} = - \frac{\cosh \frac{m\pi}{\lambda} + 1}{\sinh \frac{m\pi}{\lambda}}, \quad \varphi_{cm} = 1$$

$$\varphi'_{An} = \frac{\cosh n\pi\lambda + 1}{\sinh n\pi\lambda} \left( \frac{n\pi\lambda}{\lambda \sinh n\pi\lambda} - 1 \right) \quad \varphi'_{Bn} = - \frac{\cosh n\pi\lambda + 1}{\sinh n\pi\lambda}, \quad \varphi'_{cn} = 1$$

以上のたわみ式を用いて次の様な連立解式を形成させる。

1) 自由辺に残留するモーメントを除去する境界遅実( $\xi_i, 0$ ) ( $0, \eta_j$ )における解式

$$\begin{aligned} & - \sum_{m=2,4,6}^{\infty} \frac{m^2 \pi^2}{a^2} A_m \left( \varphi_{Am} + \frac{m\pi}{\lambda} \eta_j \right) \cosh \frac{m\pi}{\lambda} \eta_j + \left( \varphi_{cm} + \varphi_{Bm} \frac{m\pi}{\lambda} \eta_j \right) \sinh \frac{m\pi}{\lambda} \eta_j + \sum_{n=2,4,6}^{\infty} \frac{n^2 \pi^2}{b^2} A_n \left( 2\varphi'_{An} + \varphi'_{Bn} \right) \cos n\pi \xi_j \\ & - \frac{16B^2 \lambda^4}{D\pi^4} \sum_{m,n=2,4,6}^{\infty} \sum_{i=1}^m \frac{m}{(m^2 + \lambda^2 n^2)^2 m} \left( d_{mn} P_i - \sum_l C_{mn} P_l + \sum_l f_{mn} M_{Li} + \sum_l g_{mn} M_{Bi} \right) \cos n\pi \xi_j = 0 \\ & - \sum_{m=2,4,6}^{\infty} \frac{n^2 \pi^2}{b^2} A_n \left( (\varphi'_{An} + \lambda n\pi \xi_j) \cosh \lambda n\pi \xi_j + (\varphi'_{Bn} + \lambda n\pi \xi_j) \sinh \lambda n\pi \xi_j \right) + \sum_{m=2,4,6}^{\infty} \frac{m^2 \pi^2}{a^2} A_m \left( 2\varphi_{Am} + \varphi_{Bm} \right) \cosh m\pi \xi_j \\ & - \frac{16B^2 \lambda^4}{D\pi^4} \sum_{m,n=2,4,6}^{\infty} \sum_{i=1}^m \frac{n}{(m^2 + \lambda^2 n^2)^2 m} \left( d_{mn} P_i - \sum_l C_{mn} P_l + \sum_l f_{mn} M_{Li} + \sum_l g_{mn} M_{Bi} \right) \cos m\pi \xi_j = 0 \end{aligned}$$

$\gamma, \gamma'$  は  $x, y$  各方向自由边上に採った遅実の数を示す。

2) 邪実条件式

$$\begin{aligned} & - \frac{8B^3}{D\pi^4} \left[ \sum_{m=2,4,6}^{\infty} \frac{1}{m^2} \left( A_m P_i - \sum_l b_{ml} P_l + \sum_l c_{ml} M_{Li} \right) \left( \sin m\pi \xi_i - \frac{m\pi}{2} (1 - 2\xi_i) \right) \right] + \frac{2\lambda^3}{\pi} \sum_{m,n=2,4,6}^{\infty} \sum_{i=1}^m \frac{1}{(m^2 + \lambda^2 n^2)^2 m} (d_{mn} P_i \\ & - \sum_l C_{mn} P_l + \sum_l f_{mn} M_{Li} + \sum_l g_{mn} M_{Bi}) \sin m\pi \xi_i \cos n\pi \eta_i - \sum_m \frac{m\pi}{a} A_m \left( \varphi_{Am} + \frac{m\pi}{\lambda} \eta_i \right) \cosh \frac{m\pi}{\lambda} \eta_i \\ & + \left( \varphi_{cm} + \varphi_{Bm} \frac{m\pi}{\lambda} \eta_i \right) \sinh \frac{m\pi}{\lambda} \eta_i + \sum_m \left\{ \left( \varphi'_{An} + \varphi'_{Bn} + \lambda m\pi \xi_i \right) \sinh \lambda m\pi \xi_i + \left( \varphi'_{cn} + \varphi'_{Bn} + \lambda m\pi \xi_i \right) \cosh \lambda m\pi \xi_i \right\} \\ & \times \left( \frac{m\pi}{\lambda} \right) A_m \cos m\pi \xi_i + M_{Li}/2k = 0, \quad - \frac{8B^3}{D\pi^4} \sum_{n=2,4,6}^{\infty} \frac{1}{n^2} \left( A_n P_i - \sum_l b_{nl} P_l + \sum_l c_{nl} M_{Li} \right) \left( \sin n\pi \xi_i - \frac{n\pi}{2} (1 - 2\xi_i) \right) \\ & + \frac{2\lambda^3}{\pi} \sum_{m,n=2,4,6}^{\infty} \sum_{i=1}^m \frac{1}{(m^2 + \lambda^2 n^2)^2 m} (d_{mn} P_i - \sum_l C_{mn} P_l + \sum_l f_{mn} M_{Li} + \sum_l g_{mn} M_{Bi}) \cos m\pi \xi_i \sin m\pi \eta_i \\ & - \sum_n \frac{n\pi}{b} A_n \left\{ \left( \varphi'_{An} + \lambda n\pi \xi_i \right) \cosh \lambda n\pi \xi_i + \left( \varphi'_{Bn} + \lambda n\pi \xi_i \right) \sinh \lambda n\pi \xi_i \right\} \sin n\pi \eta_i + \sum_m \left\{ \left( \varphi_{Am} + \varphi_{Bm} \right. \right. \\ & \left. \left. + \frac{m\pi}{\lambda} \eta_i \right) \sinh \frac{m\pi}{\lambda} \eta_i + \left( \varphi_{cm} + 1 + \varphi_{Bm} \frac{m\pi}{\lambda} \eta_i \right) \cosh \frac{m\pi}{\lambda} \eta_i \right\} \left( \frac{m\pi}{\lambda} \right) A_m \cos m\pi \xi_i + M_{Qi}/2k = 0 \end{aligned}$$

3) 支承条件式

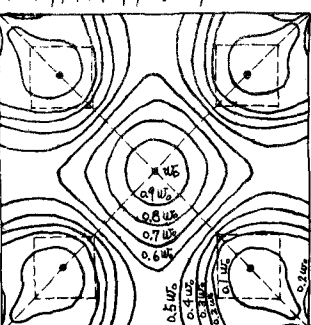
$$K: 柱の剛度 = \frac{EI}{h}$$

$W_0$  及び 柱頭反力  $R$  は 各柱頭上のたわみ  $W(x_i, y_i) = 0$  及び 構造全体の  $\sum V = 0$  より 求められる。以上 1), 2), 3) の各解式を連立させて解を求める。

IV) 計算例: 図に示す様な周辺完全自由な正方形板( $a \times a$ )が 4 本の柱頭部に結合する場合のたわみ等高線図及びモーメント分布図を示す。本計算例で自由境界に採った遅実の数は 6 あたり 6 実である。本例の支承台の面積はかなり大き( $9/5 \times 9/5$ ) 張出部は比較的小さいが自由辺柱列帶、柱間帶各部のモーメントの差は著しく、この構造が立体的解析によ

り始めて評価出来ることを示す。今後非対称変形の場合に解法を拡張したいと考える。

$$\frac{K}{D} = 12.8$$



$$W_0 = 0.000684 \frac{P}{D} a^4$$

